

V-383 幅広コーベルの耐荷力に関する実験的研究

中部大学工学部 正会員 平澤征夫

1. まえがき

本研究は、幅広コーベルの力学的挙動と耐荷力を実験的に明かにする目的で模型実験を行い、その結果をFEM解析結果と比較するとともに、そのせん断耐力と有効幅に対する検討を行ったものである。対象とする構造物は、橋脚の張出部に支承が配置される構造であるが、片持梁としての梁幅が広く、支承位置までの張出し長さに較べて部材が厚いことにより幅広コーベルとしての挙動が考えられた。

そこで、本研究は、(1) 弹性域内でのFEM解析結果と実験値との比較、(2) 終局限界状態における設計せん断耐力の検証、(3) 幅広コーベルの有効幅に対する考察などに着目した検討を行って、今後の設計の参考に資することを目的として行ったものである。

2. 実験概要

供試体—実物の1/6スケールモデルとし、全部で4体作製し、そのうち1体(コーベル3)のみスター・ラップ有りとした。コンクリートは高炉B種(210-8-20)とした。図1、2にモデルの形状・寸法、配筋および載荷位置、ひずみ計測位置などを示す。載荷荷重は設計荷重相当(25.3tf=実際の設計荷重の1/36)までは2.5tf毎に、それ以上は5.0tf毎の刻みとし、計測は設計荷重時、ひびわれ時と鉄筋降伏時、および最大耐力時を重視して行った。載荷方法はコーベル4のみ偏心載荷とし、コーベル1~3は対称載荷とした。

2. 実験結果と考察

表1~3に供試体に使用したコンクリートと鉄筋の強度および弾性係数さらにコーベルの実験結果を示す。

(1) 設計荷重25.3tfにおけるコンクリートと鉄筋の応力の分布に対する実測値とFEM解析結果の比較

図3および図4にそれぞれコーベル2、3のコンクリート応力分布と鉄筋応力分布をFEMの結果と比較して示す。これらの図より、まず、コンクリート応力分布の解析結果は中央部が大きく両端で小さい山形の分布であるのに対し、実験結果は全体的にばらつきが大きく、その分布形状は台形に近い。そして、両端部ではほぼ近い分布を示した。解析値が中央部分で大きいのは載荷版での荷重分布を変化させて解析したためである。

(2) せん断耐力に対する検討

a) 表4(a)に示したように、土木学会標準示方書に与えられたコーベルの設計せん断耐力の計算方法で、有効幅を載荷版中央点から45°に分布すると考えた幅を仮定して得られた設計せん断耐力は十分安全側の値となることがわかった。

b) 表4(b)に示したように、トラス理論によって、前断面幅を有効(使用主鉄筋13本すべて有効)と考えて求めた降伏耐力(鉄筋の降伏点応力度を使用)、および最大耐力(鉄筋の最大耐力点使用)の計算値は実験値とほぼ等しい値となった。すなわち、コーベル3、4の最大耐力以外の実験値は、すべてトラス理論による降伏耐力および最大耐力の計算値を上回っており、全体的に安全側であるといえる。

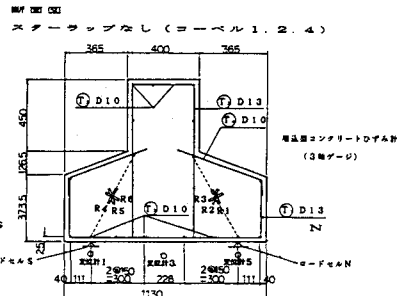
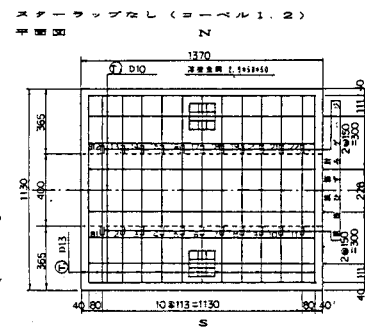


図1 形状・寸法および配筋

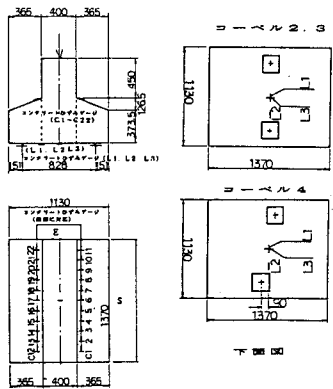


図2 ひずみ計測位置・載荷位置

(3) 有効幅に関する検討

幅広コーベルの場合、支承の大きさがあるのでその、有効幅の取り方に図5のように2通りの方法が考えられる。

表5に土木学会示方書による V_{dd} の算定式に実験値を代入して逆算し、有効幅を検討した結果を示す。ここでは、図5の2通りの有効幅の取り方および3種類のコンクリート強度の取り方についても検討した。

表中()内は分布幅に対する角度を示す。この結果、 a 、 b 2通りの考え方による有効幅の取り方の影響は実際には小さく、コンクリート強度の仮定による影響が大きいことがわかった。また、この有効幅に対する角度は、少なくとも 60° 以上はあるものと考えられる。表5には、外国文献¹⁾より、 $b \cdot d_f / V_u$ に対する4提案式により逆算した有効幅 b を示したが、破壊後の供試体より実測した有効幅と比較的よく合うのは土木学会では b_{e2} 、または b_{e3}

であり、外国では、 b_{e5} のNiedenhoffの提案式であることがわかった。

3.まとめ

幅広コーベルの設計せん断耐力は、コンクリート強度に f'_{cd} を用い、有効幅を支承中央点から両側に 45° の角度で分布すると仮定した幅で計算すれば、十分安全側の値が得られることが明かとなった。

本研究にご協力いただいた中部大学土木工学科卒業研究生、藤村信雄、森下佳記、渡辺仁啓、村上雅之の諸君、および愛知県津島土木事務所の方々に厚く御礼申し上げます。

表4 せん断耐力に対する検討

コーベル No.	(a) 土木学会示方書による 設計せん断耐力の比較		(b) トラス理論による降伏耐力 および最大耐力の比較	
	V_{dd}	P_{yt}/V_{dd}	P_{yt}/P_u	P_{ut}/P_u
1	73	2.12	2.67	1.18
2	69	2.68	2.74	1.41
3	63	2.46	2.80	1.18
4	63	2.38	2.50	1.18

設計せん断耐力: V_{dd} (t)降伏耐力計算値: $P_y = 131\text{tf}$ 最大耐力計算値: $P_u = 186\text{tf}$

表5 コーベルの有効幅に対する検討

コーベル No.	有効幅の 実測値(cm)		土木学会示方書より 逆算した有効幅(cm)		外国の提案式 ¹⁾ より 逆算した有効幅(cm)		
	N	S	b_{e1}	b_{e2}	b_{e3}	b_{e4}	b_{e5}
1	116	126	88	106	112	91	109
			(64)	(68)	(69)		
2	-	119	92	112	112	98	118
			(65)	(69)	(69)		
3	114	133	96	112	124	112	135
			(66)	(69)	(71)		
4	-	-	88	96	106	97	117
			(64)	(66)	(68)		

b_{e1} : 土木学会示方書により V_{dd} の算定式を用いて f'_{cd} / γ_c のかわりに f'_c を用いて求めた V_{dd} に実験式を入れて逆算した有効幅

b_{e2} : $f'_{cd} = f'_c / \gamma_c$ を用いた場合の b_e

b_{e3} : $0.85 * f'_{cd}$ を用いた場合の b_e

b_{e4} : Wommelsdorff

b_{e5} : Niedenhoff

b_{e6} : Mehmel & Becker

b_{e7} : Steinle

参考文献

1) ACI Structural Journal Sept.-Oct., 1987

表1 コンクリート強度および弾性係数

	圧縮強度 kgf/cm ²	引張強度 kgf/cm ²	曲げ強度 kgf/cm ²	弾性係数 ×10 ¹⁰ kgf/cm ²
コーベル1	237	—	—	2.70
コーベル2	213	20.1	38.5	2.47
コーベル3	180	12.6	32.4	2.21
コーベル4	179	16.3	27.6	2.17

表2 鉄筋の強度および弾性係数

鉄筋の呼び名	弾性係数 ×10 ¹⁰ kgf/cm ²	降伏点強度 kgf/cm ²	降伏点伸び ×10 ⁻⁶	伸び %
D13	1.91	361.8	19.00	24
D10	1.72	399.8	23.30	25

表3 実験値

	圧縮強度 kgf/cm ²	ひび割れ荷重 tf	強筋降伏荷重 tf	最大荷重 tf
コーベル1	237	100	155	195
コーベル2	213	75	185	189
コーベル3	180	45	155	183
コーベル4	179	45	150	157.5

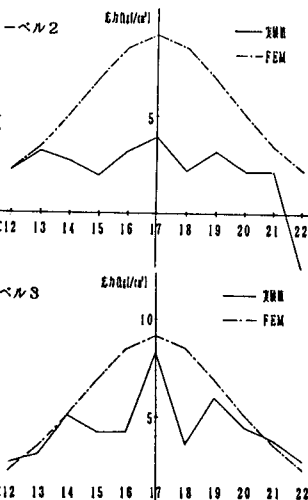


図5 有効幅の取り方

図3 各点のコンクリート応力 (25.3 t [時]) とFEMとの比較

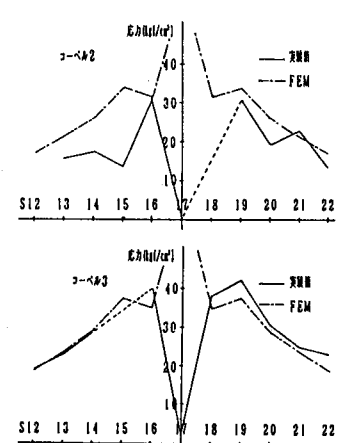


図4 各点の鉄筋応力 (25.3 t [時]) とFEMとの比較